

К РАСЧЕТУ БАЛЛИСТИЧЕСКОЙ КРИВОЙ С ИСПОЛЬЗОВАНИЕМ АВТОМАТИЧЕСКОГО ДИФФЕРЕНЦИРОВАНИЯ НА ОСНОВЕ ГИПЕР-ДУАЛЬНЫХ ЧИСЕЛ

Олифер В. И.

Если снаряд при полете подвергается действию двух сил: силы тяжести и силы сопротивления воздуха (эффект Мангуса не учитывается), то его траектория (см. рис. 1) по форме представляет собой неравномерно выпуклую плавную кривую [1 - 3].

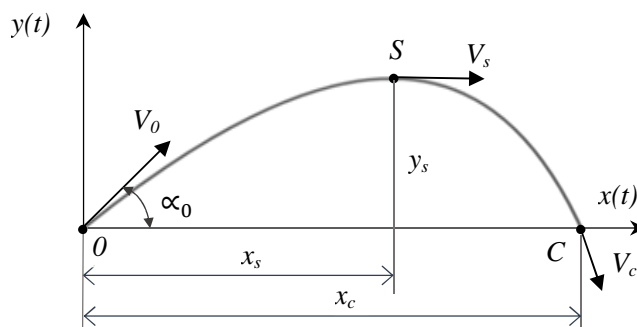


Рис. 1. Баллистическая кривая

На рис. 1 обозначено:

- S – точка максимальной высоты подъема снаряда;
- C – точка максимальной дальности полета снаряда;
- α_0 – угол к горизонту в момент выстрела;
- V_0 – начальная скорость снаряда;
- V_s – скорость снаряда в точке S ;
- V_c – скорость снаряда в точке C ;
- y_s – максимальная высота подъема снаряда;
- x_s – дальность полета снаряда до наивысшей точки траектории S ;
- x_c – максимальная дальность полета снаряда (до точки C).

Движение снаряда (при вышеуказанных условиях) в декартовых осях XOY описывается уравнениями [1 - 3]:

$$\begin{cases} x(t) = \frac{V_{x0}}{b} (1 - e^{-bt}), & (1) \\ y(t) = \frac{1}{b^2} (g + bV_{y0})(1 - e^{-bt}) - \frac{gt}{b}, & (2) \end{cases}$$

где: $V_{x0} = V_0 \cos(\alpha_0)$; $V_{y0} = V_0 \sin(\alpha_0)$; $b = kg$; k – коэффициент, характеризующий снаряд и его траекторию [1]; $g = 9.81$ – ускорение свободного падения.

Дальность полета снаряда определяется по уравнению (1) при известном времени полета снаряда t , которое можно найти из решения уравнения (2) при $y(t) = 0$. Однако, точное решение этого трансцендентного уравнения аналитически невозможно [3].

Некоторые характеристики баллистической кривой можно получить в аналитическом виде [2, 3]:

$$t = - \frac{\ln(1 - \frac{b \cdot x}{V_{x0}})}{b}, \quad (3)$$

$$t_s = \frac{\ln(V_{y0} \frac{b \cdot V_{y0}}{g} + 1)}{b}, \quad (4)$$

$$y_s = (V_{y0} - t_s \cdot g)/b, \quad (5)$$

$$x_s = V_{x0} \cdot V_{y0} / (V_{y0} \cdot b + g) \quad (6)$$

Подстановка (3) в (2) дает уравнение баллистической кривой в явном виде:

$$y(x, \alpha_0) = q_1 \cdot \ln(1 - q_3(\alpha_0) \cdot x) + q_2(\alpha_0) \cdot x, \quad (7)$$

где: $q_1 = \frac{g}{b^2}$, $q_2(\alpha_0) = \frac{V_{y0} + g/b}{V_{x0}}$, $q_3(\alpha_0) = \frac{b}{V_{x0}}$

Используя уравнение (7) и формулы (3) - (6), рассмотрим итерационные решения следующих баллистических задач:

1. Найти (x_s, y_s) при заданных α_0, V_0, b :

$$x_s = \frac{V_{x0} \cdot V_{y0}}{V_{y0} \cdot b + g}, \quad y_s = \left(V_{y0} - \frac{g}{b} \ln \left(1 + \frac{b \cdot V_{y0}}{g} \right) \right) / b$$

2. Найти x_c при заданных α_0, V_0, b :

$$x_c = \forall (x > x_s): y(x) = 0 \Rightarrow x_0 = \frac{V_{x0}}{b} - 10, \quad x_c = CHB(y(x, \alpha_0), x_0)$$

3. Найти α_x при заданных x_c, V_0, b :

$$\alpha_x = \forall x_c > 0: y(x_c) = 0 \Rightarrow \alpha_0 = \arcsin(x_c \cdot g / V_0^2) / 2, \quad \alpha_x = CHB(y(\alpha, x_c), \alpha_0)$$

4. Найти α_c (угол α_c , соответствующий $\max(x_c)$) при заданных V_0, b :

$$\alpha_c = \max_{\alpha_c \in l} (x_c), \quad l = [0, \pi/2]$$

5. Найти α при заданных $\underline{x}, \underline{y}, V_0, b$:

$$\alpha = \forall \underline{x}, \underline{y} > 0: \underline{y}(\alpha, \underline{x}) = 0$$

Заметим, что задача 3 является частным случаем задачи 5 ($\underline{x} > 0, \underline{y} = 0$).

Как видно, первая задача имеет замкнутое решение, которое используется в других задачах, в том числе для поиска точек кривой безопасности.

Для решения второй, третьей и пятой задач будем применять итерационный метод Чебышева 4-го порядка $CHB(y(x), x_0)$ [4]:

$$x_{i+1} = x_i - [1 + (L_i + L_i^2)/2 - K_i/6]D_i, \quad i = 0, 1, 2, \dots, \quad (8)$$

где: $D_i = \frac{y(x_i)}{y'(x_i)}$, $L_i = D_i \cdot \frac{y''(x_i)}{y'(x_i)}$, $K_i = D_i^2 \cdot \frac{y'''(x_i)}{y'(x)}$ и y', y'', y''' – производные y по x соответствующего порядка, а x_0 – начальное приближение, которое должно обеспечивать сходимость метода к нужному корню.

И, наконец, четвертая задача связана с поиском максимума функции двух переменных, который реализуется совместно методами Чебышева и модифицированным методом золотого сечения [5]. Схема модифицированного метода золотого сечения для поиска максимума на отрезке $[a, b]$ имеет вид:

$$\varphi = \frac{3 - \sqrt{5}}{2}, \quad \alpha_1 = a + \varphi \cdot (b - a), \quad \alpha_2 = a + b - \alpha_1, \quad x_1 = f(\alpha_1), \quad x_2 = f(\alpha_2)$$

$R: (x_1 > x_2) \Rightarrow b = \alpha_2, \alpha_2 = \alpha_1, x_2 = x_1,$

$$\alpha_1 = a + \varphi \cdot (b - a), \quad x_1 = f(\alpha_1), \quad \text{go to } R;$$

$(x_1 \leq x_2) \Rightarrow a = \alpha_1, \alpha_1 = \alpha_2, x_1 = x_2,$

$$\alpha_2 = a + b - \alpha_1, \quad x_2 = f(\alpha_2), \quad \text{go to } R;$$

где: $f(\alpha)$ – возвращает результаты работы второй задачи.

Условием окончания вычислительного процесса служит выражение $|b - a| \leq \delta$, а выходные результаты определяются выражениями $\alpha = (\alpha_1 + \alpha_2)/2$, $x = f(\alpha)$.

Для реализации метода Чебышева 4-го порядка, используемого в баллистических задачах 2, 3, 4 и 5, необходимо наличие простого и точного способа определения значений частных производных (до третьего порядка включительно) исходных функций. Это может быть успешно решено, если воспользоваться методом автоматического дифференцирования (АД) [6], суть которого заключается в создании нового типа данных и переопределении операций и базовых функций над ними.

Для рассматриваемого случая в качестве такого нового типа данных могут быть использованы гипер-дуальные числа 3-го класса [6].

Гипер-дуальное число 3-го класса имеет представление в виде $Z = z + z_1\epsilon + z_2\omega + z_3\gamma$, $z, z_1, z_2, z_3 \in \mathbb{R}$. Параметр z называется главной (*Re* - действительной) частью гипер-дуального числа, а z_1, z_2, z_3 - его мнимыми (*Im1, Im2, Im3* - инфинитезимальными) частями. Абстрактные элементы ϵ, ω, γ образуют базис мнимых частей гипер-дуального числа, отвечающий следующими правилам: $\epsilon^2 = 2\omega, \epsilon\omega = 3\gamma, \epsilon\gamma = \omega\gamma = \gamma^2 = \omega^2 = 0$. Алгебраические операции над дуальными числами 3-го класса определяются формулами:

$$\begin{aligned} X &= x + x_1\epsilon + x_2\omega + x_3\gamma, & Y &= y + y_1\epsilon + y_2\omega + y_3\gamma, \\ X + Y &= x + y + (x_1 + y_1)\epsilon + (x_2 + y_2)\omega + (x_3 + y_3)\gamma, \\ X \cdot Y &= x \cdot y + (x \cdot y_1 + y \cdot x_1)\epsilon + (x \cdot y_2 + 2x_1 \cdot y_1 + y \cdot x_2)\omega + (x \cdot y_3 + y \cdot x_3 + 3(x_1 \cdot y_2 \\ &\quad + y_1 \cdot x_2))\gamma, \\ Y^{-1} &= y^{-1} - y^{-2} \cdot y_1\epsilon + y^{-2}(2 \cdot y_1^2 \cdot y^{-1} - y_2)\omega + a^{-2}(6y_1 \cdot y^{-1}(y_2 - y_1^2 \cdot y^{-1}) \\ &\quad - y_3)\gamma, \end{aligned} \tag{9}$$

$$X/Y = X \cdot Y^{-1},$$

а функция гипер-дуального аргумента 3-го класса, после ее разложения в ряд Тейлора, имеет вид

$$\begin{aligned} F(X) &= f(x) + x_1f'(x)\epsilon + [x_2f'(x) + x_1^2f''(x)]\omega + \\ &\quad + [x_3f'(x) + 3x_1x_2f''(x) + x_1^3f'''(x)]\gamma \end{aligned} \tag{10}$$

При $x_1 = 1$ и $x_2 = x_3 = 0$ соотношение (10) принимает форму:

$$F(x + \epsilon + 0\omega + 0\gamma) = f(x) + f'\epsilon + f''(x)\omega + f'''(t)\gamma, \quad f(x) = F(x + 0\epsilon + 0\omega + 0\gamma),$$

что позволяет представить (8) следующим образом

$$D_i = \frac{Y(X_i).Re}{Y(X_i).Im1}, \quad L_i = D_i \cdot \frac{Y(X_i).Im2}{Y(X_i).Im1}, \quad K_i = D_i^2 \cdot \frac{Y(X_i).Im3}{Y(X_i).Im1},$$

где: $X_i = x_i + \epsilon + 0\omega + 0\gamma$, $Y(X)$ - целевая функция $y(x)$, записанная в терминах гипер-дуальных чисел 3-го класса.

Компьютерная реализация гипер-дуальных чисел 3-го класса (Sdn3) была выполнена на языке программирования SWIFT 5 для macOS Sonoma в виде статической библиотеки (static library) SdnLibrary3 [6], которую можно скачать с интернет ресурса (см. Приложение 1), а затем добавить в свой Xcode проект.

С целью проверки адекватности работы описанного выше численного метода была проведена компьютерная верификация решений баллистических задач 1÷5 с использованием программного кода на языке SWIFT 5 (см. Приложение 1). Указанный SWIFT код оформлен в виде структуры Blst, которая включает 13 функций: $\alpha_x_y()$, $\alpha_x()$, $\alpha_x_max()$, $x_u_s()$, $x_c(x0)$, $Y_x(x)$, $Y_alpha(alpha)$, $t_x(x)$, $x_alpha(alpha)$, $\alpha_xy()$, СНВ (f(), x0), $new_alpha(alpha)$, RG (l:(a, b)). Первые три являются публичными (public), а остальные приватными (private). Функции $Y_x(x)$, $Y_alpha(alpha)$ описывают уравнение (7) в терминах Sdn3, причем для первой функции x – переменная, α – константа, а для второй наоборот. Коммуникации между функциями осуществляются с использованием картежа (tuple) gB. Расчеты проводились в операционной среде macOS Sonoma 14.5 с CPU 2.3 GHz. В табл. 1 представлены численные результаты для $\alpha_0 = 45^\circ$, $V_0 = 800$, $b = 0.04$ и $g = 9.81$.

№ задачи	Результат	t_{mc}	i
1	$x_s = 9,865.150484085429$ $y_s = 6,809.710422016575$	0.005	-
2	$x_c = 13,546.51128628792$	0.039	4
3	$\alpha_x = 9.5465^\circ$ при $\underline{x} = 12,000.0$	0.007	2
4	$\alpha_c = 25.86767^\circ$ $x_c = 15,873.066510851604$	0.034	23
5	$\alpha_1 = 21.64089^\circ$, $\alpha_2 = 54.81854^\circ$ при $\underline{x} = 11,000.0$, $\underline{y} = 2,500.0$	0.058	6

Табл. 1. Результаты расчета при $\alpha_0 = 45^\circ$, $V_0 = 800$, $b = 0.04$, $g = 9.81$;
 t_{mc} – затраченное время в миллисекундах, i – количество итераций

При других значениях угла α_0 , полученные результаты даны в виде графиков (см. Рис. 2, 3).

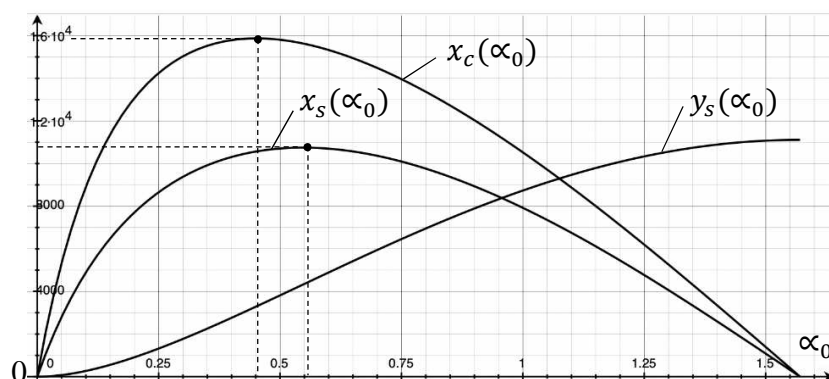


Рис. 2. Зависимости x_s , y_s и x_c от α_0 ; (α_0 в радианах)

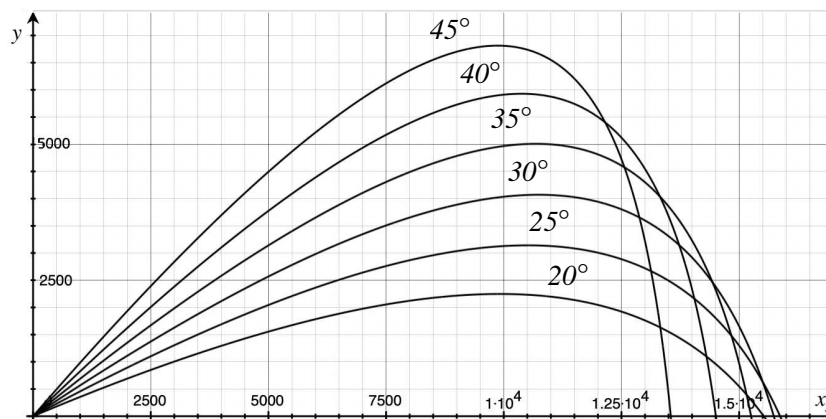


Рис. 3. Зависимость $y(x)$ от α_0

Расчет всех пяти баллистических задач потребовал не более 0,14 мс. машинного времени, а точность решения значительно превышает реальные нужды. В практических вопросах наиболее востребованными являются третья и пятая задачи. Последняя дает два значения угла α_0 , обеспечивающих попадание в цель. Причем первое значение α_0 соответствует более пологой траектории, а второе – более выпуклой. Следует отметить, что за одно обращение к функции $Y_x(x)$ автоматически вычисляются основные геометрические характеристики кривой (y, y', y'', y''') в исследуемой точке x . Полученные численные результаты соответствуют всем особенностям исследованной баллистической кривой, например, $\max_{\alpha}(x_c) \Leftrightarrow \max_{\alpha}(x_c)$ – при заданном V_0 , из максимума $x_c(\alpha)$ не следует, что $x_c(\alpha)$ будет максимально, и наоборот (см. рис. 2). Задача 2 также решалась путем численного интегрирования системы дифференциальных уравнений (1) и (2), методом Рунге-Кутты 4-го порядка. Для достижения результата (с точностью 4-х знаков после запятой), представленного в табл. 1, потребовалось около 30 мс против 0.039 мс. SWIFT код реализующий указанную выше процедуру Рунге-Кутты дан в Приложении 2.

Приложение 1.

Код для численного эксперимента на языке Swift 5 (macOS 14.5). Тип данных Sdn3 (супер-дуальные числа 3-го класса) приведен в [6], или можно скачать статическую библиотеку SdnLibrary3.zip и после распаковки добавить SdnLibrary3 в свой проект (как это сделать см. ReadMe.txt). [Download SdnLibrary3.zip](#)

```
import Foundation
```

```
    //-- Creating instance of structure Blst:
    var B = Blst (Vo: 800, b: 0.04,  $\alpha$ 0: 45.0);    //-- Task 1,2
    let rg = B. $\alpha$ _x_max();                        //-- Task 4
    let  $\alpha$  = B. $\alpha$ _x(x: xz). $\alpha$ ;                //-- Task 3
    let  $\alpha$ 12 = B. $\alpha$ _x_y(x: 11000.0, y: 2500.0);    //-- Task 5
```

```
struct Blst {
```

```
    var gB = ( $\alpha$ g:0.0,  $\alpha$ 0:0.0, b:0.0, g:9.81,
              Vo:0.0, Vox:0.0, Voy:0.0, x:0.0, y:0.0, xs:0.0, ys:0.0, xc:0.0, xmax:0.0, t:0.0);
```

```
    init(Vo:Double,b:Double, $\alpha$ 0:Double) {
        gB.Vo = Vo; gB.b = b; new_ $\alpha$ ( $\alpha$ :  $\alpha$ 0);
```

```
    //-- task 1
```

```
        let xys = xy_s(); gB.xs = xys.xs; gB.ys = xys.ys;
        gB.xmax = gB.Vox/gB.b;
```

```
    //-- task 2
```

```
        gB.xc = x_c(x0: gB.xmax - 10).x; gB.x = gB.xc;
        gB.y = Y_x(x: gB.x).re; gB.t = t_x(x: gB.x);
    }
```

```
    //-- task 3
```

```
    public mutating func  $\alpha$ _x(x:Double)->( $\alpha$ :Double, t:Double){
        let x1 = gB.x, gB.x = x,
             $\alpha$ 0 = asin(x*gB.g/(gB.Vo*gB.Vo))/2.0,
             $\alpha$  = CHB (f: Y_ $\alpha$ , x0:  $\alpha$ 0).x,
            a =  $\alpha$ *180/Double.pi;
        gB.x = x1;
        let t = t_x(x: x);
        return ( $\alpha$ :a, t:t);
    }
```

```
    //-- task 4
```

```
    public mutating func  $\alpha$ _x_max()->( $\alpha$ :Double,x:Double, i:Int){
        return RG (l: (a: 0.0, b: 45.0));
    }
```

```
    //-- task 5
```

```
    public mutating func  $\alpha$ _x_y(x:Double, y:Double)->( $\alpha$ 1:Double, $\alpha$ 2:Double){
        var  $\alpha$ 1 = 10.0*Double.pi/180.0,  $\alpha$ 2 = Double.nan;
        gB.x = x; gB.y = y;
        let q1 = gB.g/(gB.b*gB.b);
```

```
for  $\alpha$ :Double in stride(from: 10, through: 80, by: 1){
  var  $\alpha$ r =  $\alpha$ *Double.pi/180.0;
  var Vx = gB.Vo*cos( $\alpha$ r), Vy = gB.Vo*sin( $\alpha$ r);
  let q2 = (Vy + gB.g/gB.b)/Vx, q3 = gB.b/Vx;
  let z = q2*gB.x + q1*log(1.0 - q3*gB.x) - gB.y;
  if z.isNaN {break} else { $\alpha$ 2 =  $\alpha$ }
}
let ar2 =  $\alpha$ 2*Double.pi/180.0,
 $\alpha$ _1 = CHB (f:  $\alpha$ _xy, x0: ar1).x,
 $\alpha$ _2 = CHB (f:  $\alpha$ _xy, x0: ar2).x;
return ( $\alpha$ 1:  $\alpha$ _1*180/Double.pi,  $\alpha$ 2:  $\alpha$ _2*180/Double.pi);
}

//--- private functions:

private func xy_s()->(xs:Double, ys:Double){
  let xs = gB.Vox*gB.Voy/(gB.Voy*gB.b + gB.g),
      ys = (gB.Voy - (gB.g/gB.b)*log(1.0 + gB.b*gB.Voy/gB.g))/gB.b;
  return (xs:xs, ys:ys);
}

private func x_c(x0:Double)->(x:Double, i:Int){return CHB (f: Y_x, x0: x0c)}

private func Y_x(x:Double)->Sdn3{
  let X = Sdn3(re: x, im1: 1.0, im2: 0.0, im3: 0.0),
      T = -Sdn3.ln(X: Sdn3(re: 1) - gB.b*X/gB.Vox)/gB.b,
      p1 = (gB.b*gB.Voy + gB.g)/(gB.b*gB.b), p2 = gB.g/gB.b,
      Y = p1*(Sdn3(re: 1.0) - Sdn3.exp(X: -gB.b*T)) - p2*T;
  return Y;
}

private func Y_ $\alpha$ ( $\alpha$ :Double)->Sdn3{
  let x = gB.x,  $\beta$  = Sdn3(re:  $\alpha$ , im1: 1.0, im2: 0.0, im3: 0.0),
      Vx = gB.Vo*Sdn3.cos(X:  $\beta$ ), Vy = gB.Vo*Sdn3.sin(X:  $\beta$ ),
      T = -Sdn3.ln(X: Sdn3(re: 1) - Sdn3(re: gB.b*x)/Vx)/gB.b,
      p1 = (gB.b*Vy + Sdn3(re: gB.g))/(gB.b*gB.b), p2 = gB.g/gB.b,
      Y = p1*(Sdn3(re: 1.0) - Sdn3.exp(X: -gB.b*T)) - p2*T;
  return Y;
}

private func  $\alpha$ _xy( $\alpha$ :Double)->Sdn3{return Y_ $\alpha$ ( $\alpha$ :  $\alpha$ ) - Sdn3(re: gB.y)}

private func t_x(x:Double)->Double{
  let Vx = gB.Vo*cos(gB. $\alpha$ 0);
```

```
    return -log(1 - gB.b*x/Vx)/gB.b;
}

private mutating func x_α(α:Double)->Double {
    new_α(α: α);
    return x_c(x0: gB.xmax - 10).x;
}

private mutating func new_α(α:Double){
    gB.α0 = α*Double.pi/180.0;  gB.αg = α;
    gB.Vox = gB.Vo*cos(gB.α0);  gB.Voy = gB.Vo*sin(gB.α0);
    gB.xmax = gB.Vox/gB.b;
}

private func CHB (f:(Double) -> Sdn3, x0:Double)->(x:Double,i:Int){
    var i = 0, F = f(x0), x = x0, D = 0.0, L = 0.0, K = 0.0;
    repeat{
        D = F.re/F.im1; L = D*F.im2/F.im1; K = D*D*F.im3/F.im1;
        x -= (1.0 + 0.5*(L + L*L) - K/6.0)*D;
        if x >= gB.xmax {x = gB.xmax; break}
        i += 1; F = f(x); if i > 1000 {break}
    } while (abs(F.re) >= 1E-10);
    return (x, i);
}

private mutating func RG (l:(a:Double, b:Double))->(α:Double,x:Double, i:Int){
    let φ = (3.0 - sqrt(5.0))/2.0, δ:Double = 1E-3,  gB1 = gB;
    var i = 0, l = l, α1 = l.a + φ*(l.b - l.a), α2 = l.a + l.b - α1,
        x1 = x_α(α: α1),  x2 = x_α(α: α2);
    while (l.b - l.a) > δ{
        if x1 > x2 {l.b = α2;  α2 = α1;  x2 = x1;
            α1 = l.a + φ*(l.b - l.a);  x1 = x_α(α: α1)}
        else {l.a = α1;  α1 = α2;  x1 = x2;
            α2 = l.a + l.b - α1;  x2 = x_α(α: α2)}
        i += 1;
    }
    let α = (α1 + α2)/2.0,  x = x_α(α: α);
    gB = gB1;
    return (α:α, x:x, i:i);
}
}
```

Приложение 2.

Код, реализующий процедуру Рунге-Кутты, для системы (1–2) представленной в виде [2]:

$$\begin{cases} \dot{V}_x(t) = -bV_x(t), \\ \dot{V}_y(t) = -(g + bV_y(t)) \end{cases}$$

```
import Foundation
import simd
struct Blst_RK{
    // Task parameters
    let v0: Double = 800;    // starting speed
    let  $\theta$ : Double = .pi/4;    // shooting angle, radians (45 degrees)
    let g: Double = 9.81;    // acceleration of gravity
    let b: Double = 0.04;
    var x0, y0, vx0, vy0, dt: Double;
    var state: simd_double4;
    var trajectory: [simd_double2] = [];

    init(){
        // Initial conditions
        x0 = 0.0; y0 = 0.0; vx0 = v0 * cos( $\theta$ ); vy0 = v0 * sin( $\theta$ );
        // Initial state
        state = simd_double4(x0, y0, vx0, vy0);
        // Numerical solution parameters
        dt = 0.01;    // time step
        // Numerical solution
        while state[1] >= 0 {
            trajectory.append(simd_double2(state[0], state[1]));
            state = rungeKutta(state: state, dt: dt);
        }
        // Output of motion trajectory
        for point in trajectory {
            print("x: \(point[0]), y: \(point[1])")
        }
    }

    // Functions for equations of motion
    func derivatives(state: simd_double4) -> simd_double4 {
        let vx = state[2], vy = state[3],
            ax = -b*vx, ay = -(g + b*vy);
        return simd_double4(vx, vy, ax, ay);
    }
}
```

```
// Runge-Kutta method 4th order
func rungeKutta(state: simd_double4, dt: Double) -> simd_double4 {
  let k1 = derivatives(state: state),
      k2 = derivatives(state: state + 0.5 * dt * k1),
      k3 = derivatives(state: state + 0.5 * dt * k2),
      k4 = derivatives(state: state + dt * k3);
  return state + (dt / 6) * (k1 + 2 * (k2 + k3) + k4);
}
```

ЛИТЕРАТУРА

1. Балаганский И. А. Основы баллистики и аэродинамики.– Новосибирск : Изд-во НГТУ, 2017. – 200 с.
2. Амелянчик А.И., Горбач Н.И. К вопросу о движении артиллерийского снаряда.– Теоретическая и прикладная механика : международный научно-технический сборник. – Вып. 24. – 2009. – с. 247-260.
3. Корзун А.С., Крайник Д.А., Лысанович П.В., Горбач Н.И., Гурвич Ю.А. Расчёт дальности полета артиллерийского снаряда в декартовых осях координат. – Белорусский национальный технический университет, Минск, 2010.
4. Антонюк П. О первой работе П. Л. Чебышева. – Научно-Исслед. Семинар по истории и методологии мат. и мех.: МГУ, 2014. –14 с.
5. Васильев В.П. Численные методы решения экстремальных задач. - М.: Наука, 1980. – 518с.
6. Олифер В. И. Автоматическое дифференцирование на основе супер-дуальных чисел. – URL:http://viosolutions.amerihomesrealty.com/pdf/Автоматическое_дифференцирование_на_основе_супер-дуальных_чисел.pdf, 2020.

Абстракт

В данной публикации рассматривается расчет баллистической кривой, основанный на итерационных формулах Чебышева, золотого сечения и автоматического дифференцирования со специальными дуальными числами (супер-дуальными числами 3-го класса). Представлена компьютерная реализация этого подхода для языка SWIFT операционной системы macOS. Проведены численные эксперименты.

Ключевые слова: *баллистическая кривая, итерационные методы, автоматическое дифференцирование, супер-дуальные числа, ballistic curve, iterative methods, automatic differentiation, super-dual numbers.*

20 июля 2024 г